



شیمی کانی‌ها و شرایط دما-فشارسنجدی توده‌های نفوذی دوربه و ناری، غرب ارومیه، شمال غرب ایران

جمال الدین خطیبی^{*}، قاسم قربانی^{*}، هادی شفائی مقدم

دانشکده علوم زمین، دانشگاه دامغان، دامغان، ایران

(دریافت مقاله: ۹۸/۵/۲۲، نسخه نهایی: ۹۸/۹/۲۷)

چکیده: توده‌های نفوذی دوربه و ناری در غرب دریاچه ارومیه و شمال شرق اشنویه و در پهنه ساختاری سنندج - سیرجان رخنمون دارند و شامل سنگ‌های گابرودیوریتی (توده نفوذی دوربه) و گرانیتی (توده نفوذی ناری) هستند. پلازیوکلاز (آندرین تا بیتونیت)، آمفیبول (در گروه کلسیمی واژ نوع منیزیوهوبرنبلند و چرمکیت هوبرنبلند) و پیروکسن (در گروه کلسیمی و از نوع اوژیت) از کانی‌های شاخص سنگ‌های مافیک-حدواسط هستند. در سنگ‌های گرانیتی، کانی‌های اصلی شامل پلازیوکلاز (آلبیت - الیگوکلاز)، فلدسپار قلیایی (ارتوكلاز) و کوارتز و کانی‌های مافیک شامل آمفیبول (در گروه کلسیمی و از نوع اکتینولیت) و بیوتیت (آنیت) هستند. نمونه‌های مورد بررسی دارای ماهیت آهکی قلیایی و از گرانیتوئیدهای نوع I متاالومین در سنگ‌ها بیانگر دماهای توقف تبادل و تعادل نهایی کانی‌ها در دماهای ۸۶۰ تا ۷۰۰ درجه سانتی‌گراد برای سنگ‌های گابرودیوریتی و دیوریتی است. زمین فشارسنجدی این سنگ‌ها برپایه آلومینیم کل آمفیبول در سنگ‌های گابرودیوریتی و دیوریتی (مقدار Al_{total} بین ۱ تا ۲٪ نشان‌دهنده فشارهای ۲/۱۰ کیلوبار، معادل با اعمق حدود ۸ تا ۲۶ کیلومتر است. برای سنگ‌های گرانیتی از آنجاکه آمفیبول‌ها از نوع اکتینولیت بودند، دما-فشار محاسبه نشدند. دما بر اساس مقدار Ti برای سنگ‌های گرانیتی ناری بین ۷۴۰ تا ۷۶۰ درجه سانتی‌گراد بدست آمد.

واژه‌های کلیدی: دما-فشارسنجدی؛ دوربه؛ ناری؛ ارومیه؛ شمال غرب ایران

شرقی پهنه سنندج- سیرجان هستند و در شمال شهر اشنویه رخنمون دارند. تاکنون پژوهش‌های بسیاری پیرامون سنگ شناسی و چگونگی جایگیری این توده‌ها انجام شده است [۱-۵]، ولی کمتر به دما-فشارسنجدی را به سه گروه دیوریتی، گرانیتی قلمقاش [۵] سنگ‌های منطقه را به سه گروه دیوریتی، گرانیتی و قلیایی تقسیم کرده و بر اساس ایشان توده‌های خانواده دیوریتی در فشار ۱/۳ تا ۲ کیلوبار و دماهای ۷۵۰ تا ۸۵۰ درجه سانتی‌گراد و خانواده گرانیتی در شرایط ۱/۸۲ تا ۲/۰۴ کیلوبار و ۷۰۰ تا ۸۲۰ درجه سانتی‌گراد جایگیر و تشکیل شده‌اند. در این پژوهش، افزون بر بررسی‌های صحرایی، سنگنگاری و زمین شیمی، شیمی کانی‌ها برای تعیین شرایط ترمودینامیکی تبلور و جایگیری این سنگ‌ها بررسی شد.

مقدمه

هورنبلند متداول‌ترین آمفیبول در سنگ‌های گرانیتوئیدی آهکی قلیایی است که ترکیب آن متناسب با ترکیب شیمیایی، فشار، دما و گریزندگی اکسیژن مآگمای دربرگیرنده، تغییر می-کند و اساس بسیاری از دما - فشارسنجدی مقدار آلومینیوم هورنبلند است [۱، ۲]. در سنگ‌های گرانیتوئیدی مورد بررسی که در جنوب غرب دریاچه ارومیه، شمال غرب ایران (استان آذربایجان غربی) رخنمون دارند (شکل ۱)، هورنبلند یکی از کانی‌های مافیک اصلی است. در بحث زمین دما فشارسنجدی بر اساس مقدار کل آلومینیم هورنبلند، فشار، عمق و دمای تشکیل و جایگیری توده‌های مورد بررسی ارزیابی شده است. توده‌های نفوذی مورد بررسی از مجموعه نفوذی‌های اشنویه در شمال

*نویسنده مسئول، تلفن: ۰۹۱۲۸۳۲۲۷۵۸، نامبر: ۰۲۳۳۵۲۲۰۹۹۱، پست الکترونیکی: ghorbani@du.ac.ir

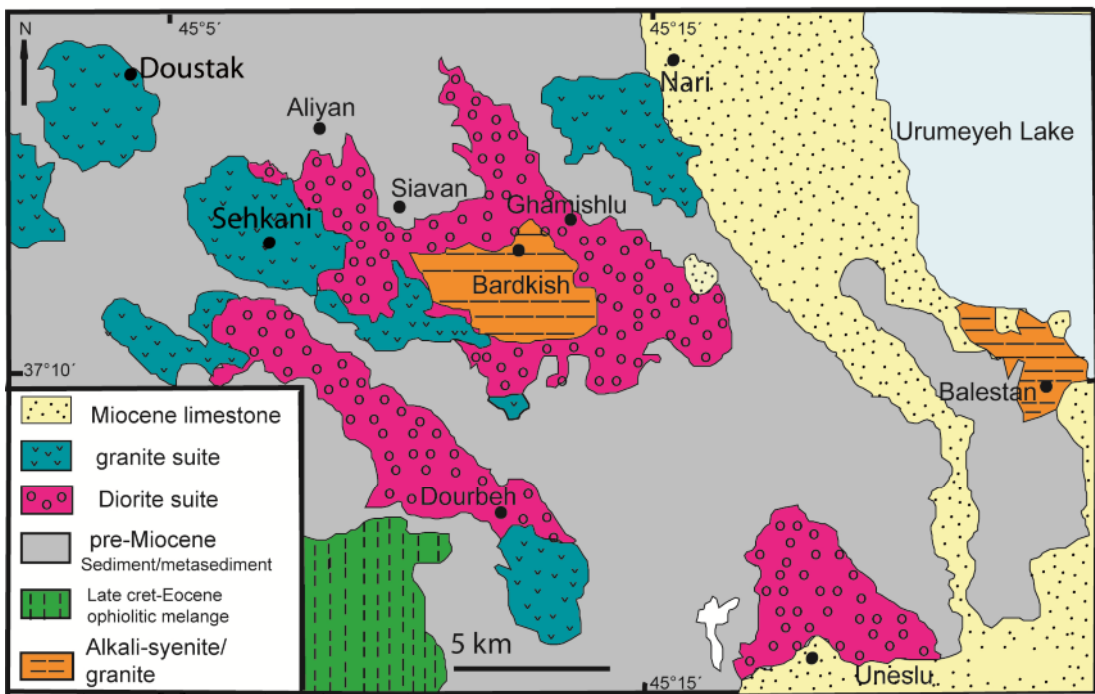
شده هستند. سن سنجی توده‌های گرانیتی مورد بررسی بر اساس U-Pb زیرکن، سن‌های 0.80 ± 0.99 تا 93.62 ± 93.78 میلیون سال را مشخص کرده که بیانگر سن تبلور کانی زیرکن در آنهاست [۷]. مجموعه سوم که شامل گرانیت‌های قلیایی بردکیش و بالستان هستند در این پژوهش بررسی نشدند، زیرا به احتمال بسیار با این توده‌ها ارتباطی ندارند و سن سنجی آنها به روش اورانیوم – سرب زیرکن، سن ۲۰۹ میلیون سال را نشان داده است [۸]. این در حالی است که بر اساس سن-سنجهای پیشین [۵] برای این توده براساس روش پاتاسیم-آرگون، سن حدود ۸۰ میلیون سال بدست آمده است.

روش بررسی

نخست از سنگ‌های مورد بررسی مقاطع نازک صیقلی تهیه شد. پس از بررسی های سنگنگاری مقاطع، برای بررسی کانی‌شناسی دقیق به منظور استفاده در دما-فشارسنجه توده‌ها، سه نمونه از آنها با دستگاه ریزگمانه الکترونی در دانشگاه مونستر آلمان تجزیه شدند. محاسبه کاتیون‌ها و فرمول ساختاری کانی‌های آمفیبیول، پلازیوکلаз، فلدسپارقلیایی، بیوتیت و پیروکسن به ترتیب بر اساس ۲۳، ۸، ۲۲ و ۶ اکسیژن انجام شد.

زمین‌شناسی عمومی

توده‌های نفوذی مورد بررسی اشنویه در غرب دریاچه ارومیه (استان آذربایجان غربی) رخمنون دارند و از نظر زمین‌ساختی، بخشی از پهنه ایران مرکزی (پهنه سندج – سیرجان) هستند [۶] (شکل ۱). سنگ‌های مورد بررسی شامل توده‌های نفوذی گابرودیوریتی (دوربه) و گرانیتی (ناری) هستند. توده گابرو-دیوریتی شامل گابرودیوریت، دیوریت، مونزو-دیوریت، کوارتزدیوریت و گرانو-دیوریت بوده و درصد وزنی سیلیس آنها بین ۴۸ تا ۵۴ درصد است و پلازیوکلاز، آمفیبیول و پیروکسن از کانی‌های شاخص این واحد سنگی هستند. در سنگ‌های گرانیتی، کانی‌های اصلی تشکیل دهنده شامل فلدسپارقلیایی، پلازیوکلاز، کوارتز و کانی مافیک بیوتیت و آمفیبیول هستند. قلماقش [۴] توده‌های نفوذی مجموعه ارومیه را به سه گروه اصلی مجموعه دیوریت، مجموعه گرانیت و مجموعه کوچک‌تر گرانیت قلیایی و سیلینیت تقسیم کرده است. این توده‌ها به درون سنگ‌های رسوبی پرمنین تا ژوراسیک نفوذ کرده و به طور محلی توسط لایه‌های کنگلومرای میوسن پیشین پوشیده شده‌اند [۴، ۵] به گزارش قلماقش [۵]، سنگ‌های پوشاننده گرانیت ناری، سنگ‌های رسوبی میوسن پیشین بوده و دارای زینولیت‌هایی از جنس سنگ‌های رسوبی دگرگون



شکل ۱ نقشه زمین‌شناسی توده‌های نفوذی مورد بررسی در غرب دریاچه ارومیه (برگرفته از مرجع [۵] با تعییرات).

گابرودیوریت‌ها و دیوریت‌ها از نوع منیزیوهرنبلند و چرماتیت هورنبلند، پیروکسن‌ها در گروه کلسیمی و از نوع اوزیت و ترکیب پلازیوکلازها از نوع آندزین تا بیتونیت تغییر می‌کند. در سنگ‌های گرانیتی، آمفیبول‌ها از نوع اکتینولیت-هورنبلند، بیوتیت‌ها نیز از نوع آئیت، پلازیوکلازها از نوع آلبیت-الیگوکلاز و فلدسپارهای قلیایی از نوع ارتوکلاز هستند.

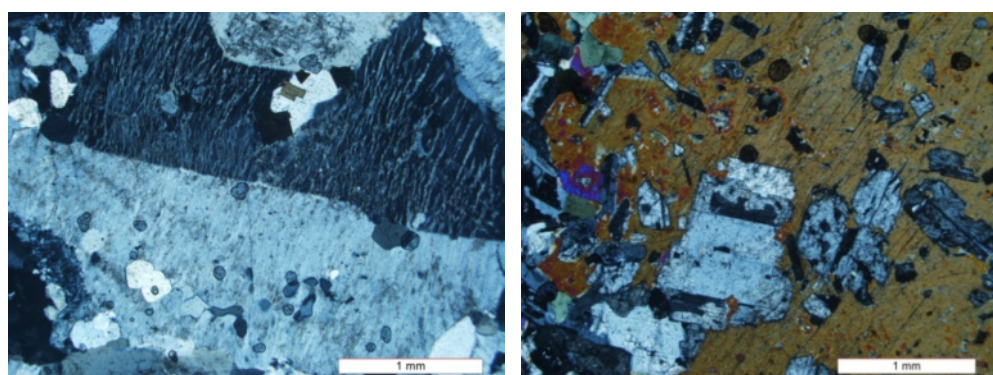
شیمی کانی‌ها

شیمی آمفیبول

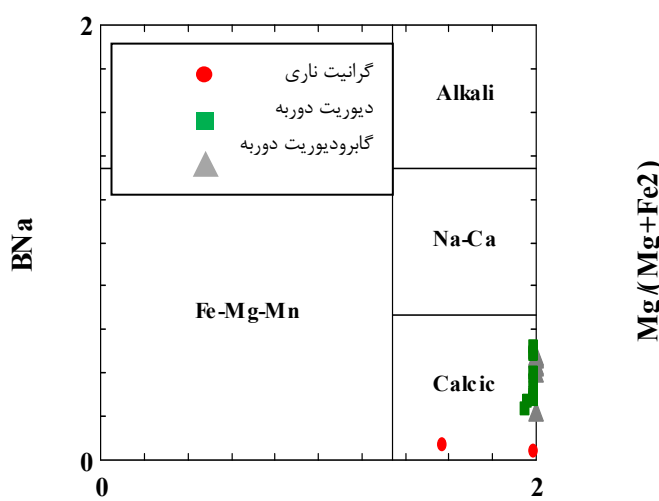
لیک و همکاران [۱، ۹، ۱۰] با توجه به نوع عناصری که در جایگاه B ساختار بلوری توسط عناصر Na و Ca اشغال می‌شوند، آمفیبول‌ها را به پنج گروه Fe - Mn - Li - - Mg دار، Na-Ca-Mg-Fe- کلسیمی، سدیمی - کلسیمی، سدیمی و - Mn-Li دار تقسیم کرده‌اند. آمفیبول‌های توده‌های نفوذی مورد بررسی در گروه کلسیمی قرار دارند (شکل ۳).

سنگنگاری

سنگ‌های مورد بررسی شامل سنگ‌های گابرودیوریت، دیوریت، مونزودیوریت، کوارتزمونزودیوریت و گرانودیوریت هستند. این سنگ‌ها دارای بافت غالب نیمه خودریخت دانه‌ای و خال خال هستند (شکل ۲) و از کانی‌های رنگ روشن پلازیوکلاز، فلدسپارقلیایی، کوارتز، کانی‌های تیره آمفیبول، پیروکسن، کانی‌های فرعی زیرکن، آپاتیت، اسفن، کانی‌های کدر و از کانی‌های ثانویه سریسیت، کلریت و اکسید آهن تشکیل شده‌اند. سنگ‌های اسیدی شامل سنگ‌های فلدسپارگرانیت قلیایی و گرانیت هستند و بافت‌های غالب در آنها نیمه‌شکل‌دار، خال خال (غربالی)، پرتبیتی و گاهی پورفیری با خمیره ریزدانه ای بوده و کانی‌های اصلی تشکیل‌دهنده آنها شامل پلازیوکلاز، فلدسپارقلیایی، کوارتز و کانی‌های مافیک بیوتیت و آمفیبول هستند. بر پایه نتایج ریزپردازش الکترونی، ترکیب آمفیبول در



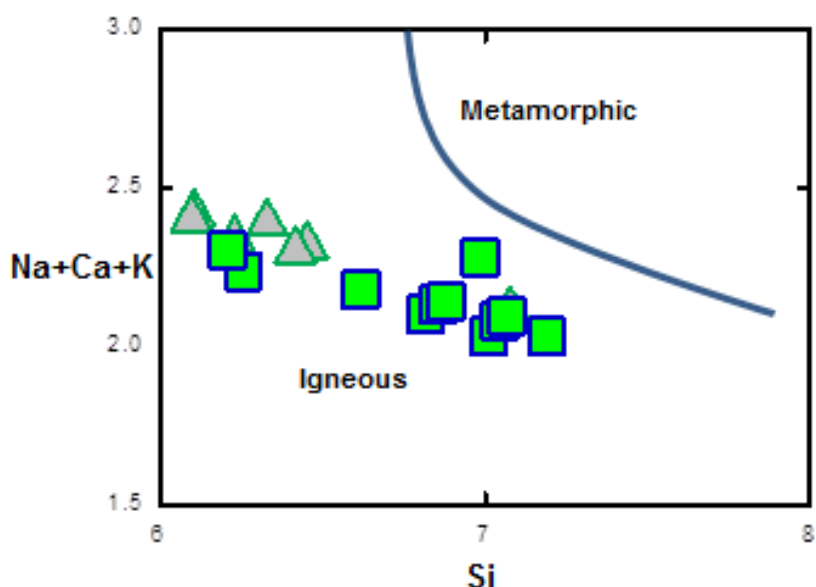
شکل ۲ الف- بلور درشت هورنبلند با میانبار بلورهای پلازیوکلاز و بافت خال در دیوریت دوربه، ب- بافت‌های دانه‌ای و پرتبیتی در بلور درشت فلدسپار قلیایی در گرانیت ناری، (نور قطبیده متقاطع، xpl).



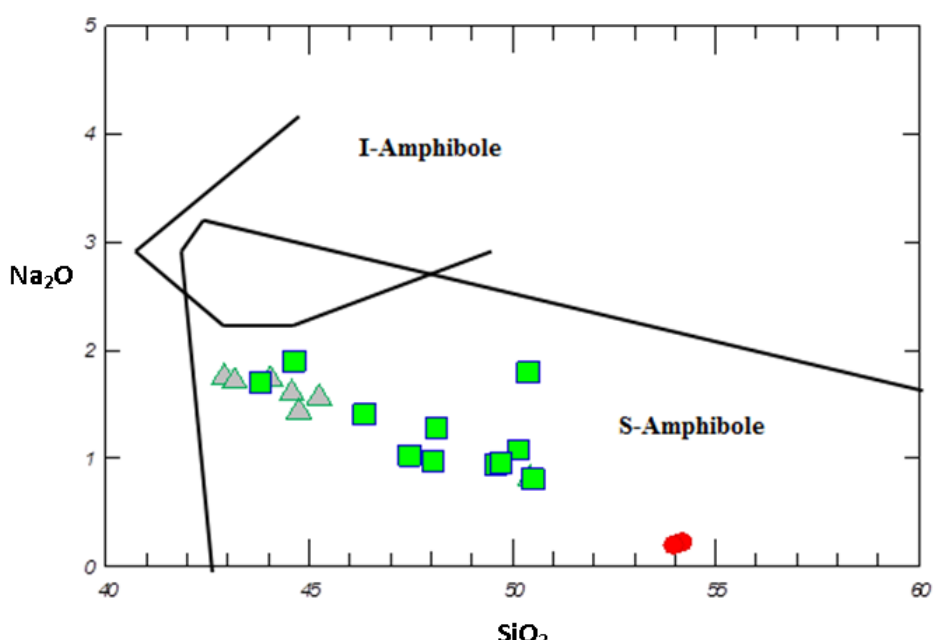
شکل ۳ نمودارهای رده بندی آمفیبول‌های توده‌ای مورد بررسی بر پایه نسبت $B\text{Ca} + B\text{Na}$ و BNa نمودار نسبت به که براساس آن آمفیبول‌ها از نوع آمفیبول‌های کلسیمی هستند و ب- نمودار نسبت به- که بر پایه آن آمفیبول‌ها بیشتر در گستره منیزیو هورنبلند- هورنبلند چرماتیت قرار دارند. در این نمودار: $\text{ANa} + \text{AK} > 0.5$ ، $\text{AlVI} < 0.5$ و $\text{Ti} < \text{Fe}^3$ است.

ترکیب شیمیایی و میانگین آمفیبول‌های تشکیل دهنده توده‌های نفوذی منطقه مورد بررسی در جدول ۱ آورده شده است. با توجه به مقادیر بالای سدیم، آلومینیم و تیتانیم (جدول ۱ و شکل ۴ را ببینید)، آمفیبول‌های مورد بررسی دارای خاستگاه ماغمایی بوده [۱۲، ۱۳] و در سنگ‌های گابرو دیوریتی از نوع آمفیبول‌های دمای بالا هستند. حضور آمفیبول ماغمایی نشان می‌دهد که ماغما دارای مقدار قابل توجهی آب بوده است [۱۴].

آمفیبول‌های توده ناری در مرز قلمرو اکتینولیت–هورنبلند و نمونه‌های توده دوربه در گستره منیزیوهومنبلند تا چرماتیت هورنبلند واقع هستند (شکل ۳). آمفیبول‌های کلسیمی شاخص توده‌های نفوذی نوع I هستند [۲]. آمفیبول‌های مورد بررسی در گستره آمفیبول‌های آذرین قرار دارند (شکل ۴). بر اساس نمودار کولتوری و همکاران [۱۱]، نیز آمفیبول‌ها در گستره سنگ‌های وابسته به محیط فرورانش قرار دارند (شکل ۵).



شکل ۴ نمودار $\text{Na}+\text{Ca}+\text{K}$ نسبت به Si برای تفکیک آمفیبول‌های آذرین و دگرگونی [۱۳].



شکل ۵ نمودار $\text{Na}_2\text{O}/\text{SiO}_2$ نسبت به SiO_2 برای تفکیک آمفیبول‌های محیط‌های درون صفحه‌ای (I) و فروزانش (S) [۱۱].
جدول ۱ نتایج تجزیه نقطه‌ای آمفیبول‌های سنگ‌های منطقه غرب ارومیه، بر اساس ۲۳ اکسیژن.

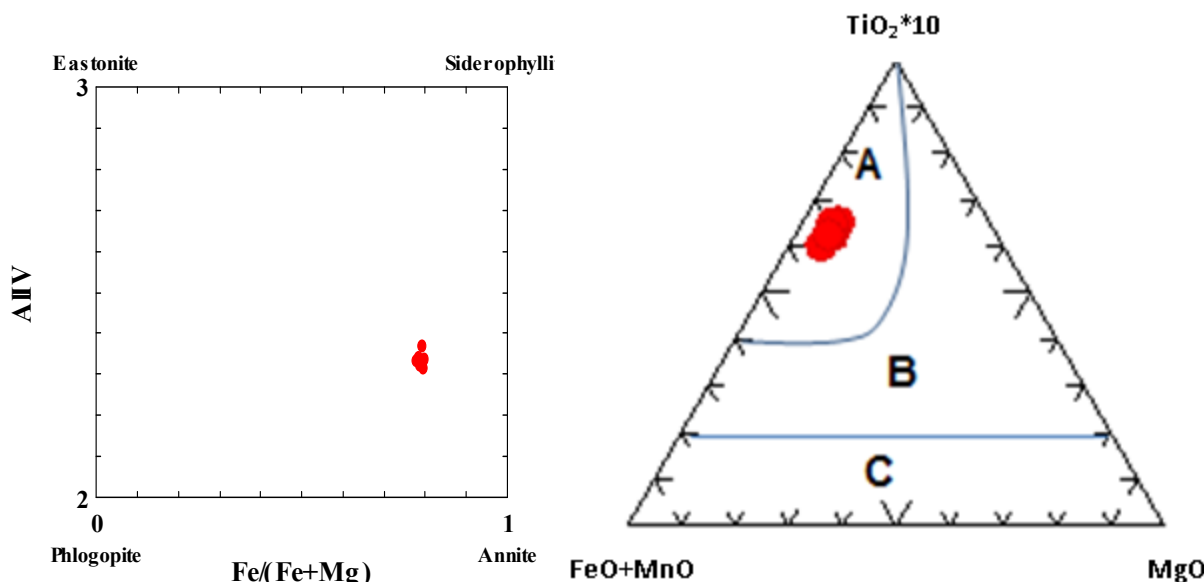
نمونه آمفیبول	Os54-1	Os54-2	Os54-3	Os54-4	Os54-5	Os54-6	Os65-1	Os65-2	Os65-3	Os65-4	Os65-5
SiO ₂	۴۳,۱۷	۴۲,۹۱	۴۴,۰۴	۴۴,۵۷	۴۵,۲۴	۵۰,۴۴	۴۴,۶۳	۴۳,۷۹	۴۶,۳۶	۴۸,۰۴	۵۰,۳۹
TiO ₂	۲,۶۹	۲,۱۱	۱,۷۱	۱,۶۸	۱,۲۵	۰,۶۳	۲,۷۰	۲,۳۴	۱,۹۹	۱,۱۴	۱,۰۰
Al ₂ O ₃	۱۲,۶۶	۱۲,۳۵	۱۱,۸۲	۱۱,۵۲	۱۰,۸۴	۶,۷۱	۱۲,۶۹	۱۱,۸۳	۹,۶۷	۸,۱۹	۶,۸۳
MgO	۱۳,۱۱	۱۳,۰۳	۱۲,۵۸	۱۲,۳۸	۱۲,۴۰	۱۴,۹۰	۱۳,۸۴	۱۱,۰۲	۱۲,۷۱	۱۲,۷۸	۱۴,۱۰
FeO	۱۱,۹۳	۱۲,۵۰	۱۴,۲۰	۱۳,۶۲	۱۴,۶۷	۱۳,۲۱	۱۱,۱۲	۱۶,۴۷	۱۴,۳۵	۱۵,۱۰	۱۴,۱۳
CaO	۱۲,۱۹	۱۲,۱۰	۱۱,۷۴	۱۲,۱۹	۱۱,۸۸	۱۲,۲۲	۱۱,۶۲	۱۰,۹۸	۱۱,۱۴	۱۱,۵۶	۱۱,۶۲
Na ₂ O	۱,۷۱	۱,۷۵	۱,۷۳	۱,۶۰	۱,۵۶	۰,۸۱	۱,۹۰	۱,۷۰	۱,۴۱	۰,۹۸	۱,۰۸
K ₂ O	۰,۴۹	۰,۵۰	۰,۴۵	۰,۵۱	۰,۳۷	۰,۳۱	۰,۳۴	۰,۴۶	۰,۴۶	۰,۵۲	۰,۳۹
MnO	۰,۲۲	۰,۱۷	۰,۲۵	۰,۲۲	۰,۳۴	۰,۲۲	۰,۱۸	۰,۲۸	۰,۲۵	۰,۲۶	۰,۲۸
Cr ₂ O ₃	۰,۱۰	۰,۱۰	۰,۱۰	۰,۰۲	۰,۰۲	۰,۰۰	۰,۰۰	۰,۰۰	۰,۰۱	۰,۰۰	۰,۰۲
مجموع	۹۸,۱۹	۹۷,۴۱	۹۸,۵۳	۹۸,۲۹	۹۸,۵۸	۹۹,۴۴	۹۹,۰۲	۹۸,۸۷	۹۸,۳۴	۹۸,۵۸	۹۹,۸۳
T Site											
Si	۶,۰۹۸	۶,۱۰۶	۶,۲۳۱	۶,۳۳۰	۶,۴۱۷	۷,۰۷۶	۶,۲۰۹	۶,۲۵۷	۶,۶۱۸	۶,۸۸۱	۶,۹۸۵
Al ^[۴]	۱,۹۰۲	۱,۸۹۴	۱,۷۶۹	۱,۶۷۰	۱,۵۸۳	۰,۹۲۴	۱,۷۹۱	۱,۷۴۳	۱,۳۸۲	۱,۱۱۹	۱,۰۱۵
مجموع	۸,۰۰۰	۸,۰۰۰	۸,۰۰۰	۸,۰۰۰	۸,۰۰۰	۸,۰۰۰	۸,۰۰۰	۸,۰۰۰	۸,۰۰۰	۸,۰۰۰	۸,۰۰۰
M1 – M3 site											
Al ^[۶]	۰,۲۰۴	۰,۱۷۵	۰,۲۰۰	۰,۲۵۷	۰,۲۲۷	۰,۱۸۴	۰,۲۸۸	۰,۲۴۷	۰,۲۴۴	۰,۲۶۲	۰,۱۰۰
Cr	۰,۰۰۰	۰,۰۰۰	۰,۰۰۰	۰,۰۰۲	۰,۰۰۲	۰,۰۰۰	۰,۰۰۰	۰,۰۰۰	۰,۰۰۰	۰,۰۰۰	۰,۰۰۲
Ti	۰,۲۸۶	۰,۲۲۶	۰,۱۸۲	۰,۱۷۹	۰,۱۳۳	۰,۰۶۶	۰,۲۸۳	۰,۲۵۱	۰,۲۱۴	۰,۱۲۳	۰,۱۰۴
Mg	۲,۷۶۱	۲,۷۶۴	۲,۶۵۳	۲,۶۲۱	۲,۶۲۲	۳,۱۱۶	۲,۸۷۰	۲,۳۴۷	۲,۷۰۵	۲,۷۲۹	۲,۹۱۴
Fe ²⁺	۰,۰۰۰	۰,۰۰۰	۰,۰۸۲	۰,۲۱۸	۰,۲۹۱	۰,۷۷۸	۰,۰۰۰	۰,۵۸۸	۰,۶۹۶	۱,۰۲۰	۰,۵۱۸
Fe ³⁺	۱,۴۰۹	۱,۴۸۷	۱,۵۹۸	۱,۴۰۰	۱,۴۴۹	۰,۷۷۱	۱,۲۹۴	۱,۳۸۰	۱,۰۱۷	۰,۷۸۹	۱,۱۲۰
Mn	۰,۰۲۶	۰,۰۲۰	۰,۰۳۰	۰,۰۲۶	۰,۰۴۱	۰,۰۲۶	۰,۰۲۱	۰,۰۳۴	۰,۰۳۰	۰,۰۳۲	۰,۰۳۳
Ca	۰,۳۱۳	۰,۳۲۷	۰,۲۵۴	۰,۲۹۶	۰,۲۳۵	۰,۰۵۷	۰,۲۴۵	۰,۱۵۲	۰,۰۹۴	۰,۰۴۶	۰,۲۱۰
مجموع	۵,۰۰۰	۵,۰۰۰	۵,۰۰۰	۵,۰۰۰	۵,۰۰۰	۵,۰۰۰	۵,۰۰۰	۵,۰۰۰	۵,۰۰۰	۵,۰۰۰	۵,۰۰۰
M4 –											
Ca	۱,۵۳۲	۱,۵۱۷	۱,۵۲۵	۱,۵۵۹	۱,۵۷۱	۱,۷۸۰	۱,۴۸۷	۱,۵۲۹	۱,۶۱۰	۱,۷۲۸	۱,۵۱۶
Na	۰,۴۶۸	۰,۴۸۳	۰,۴۷۵	۰,۴۴۱	۰,۴۲۹	۰,۲۲۰	۰,۵۱۳	۰,۴۷۱	۰,۳۹۰	۰,۲۷۲	۰,۴۸۴
مجموع	۲,۰۰۰	۲,۰۰۰	۲,۰۰۰	۲,۰۰۰	۲,۰۰۰	۲,۰۰۰	۲,۰۰۰	۲,۰۰۰	۲,۰۰۰	۲,۰۰۰	۲,۰۰۰
A Site											
K	۰,۰۸۸	۰,۰۹۱	۰,۰۸۱	۰,۰۹۲	۰,۰۶۷	۰,۰۵۵	۰,۰۶۰	۰,۰۸۴	۰,۰۸۴	۰,۰۹۵	۰,۰۶۹
مجموع	۰,۰۸۸	۰,۰۹۱	۰,۰۸۱	۰,۰۹۲	۰,۰۶۷	۰,۰۵۵	۰,۰۶۰	۰,۰۸۴	۰,۰۸۴	۰,۰۹۵	۰,۰۶۹
مجموع کاتیون ها	۱۵,۰۸۸	۱۵,۰۹۱	۱۵,۰۸۱	۱۵,۰۹۲	۱۵,۰۶۷	۱۵,۰۵۵	۱۵,۰۶۰	۱۵,۰۸۴	۱۵,۰۸۴	۱۵,۰۹۵	۱۵,۰۸۹

پایه ۲۲ اکسیژن در گستره ترکیب آنیت قرار داردند [۱۸] و از نوع اولیه و ماقمایی هستند [۱۹] (شکل ۶ و جدول ۲). اکسیدهای موجود نیز بیشتر دارای ترکیب مگنتیت و مقادیر کمی ایلمنیت هستند. وجود مگنتیت به همراه بیوتیت در این توده‌ها نشان‌دهنده بالا بودن گریزندگی اکسیژن در ماقمایی است. همچنین بیوتیت‌ها دارای چند رنگی شکلاتی تا مافیک است. آنها با توجه به وجود هورنبلند به عنوان کانی موسکوویت، آندالوزیت، کردیریت، گارنت و برونبومهای دگرگونی

شیمی بیوتیت کانی فرومیزین اصلی در توده گرانیتی ناری است. بیوتیت‌های مورد بررسی از نوع اولیه هستند (شکل ۶). این کانی به رنگ قهوه‌ای تا زرد یا سبز کمرنگ دیده می‌شود که در واقع تغییر رنگ آنها از تغییر ترکیب شیمیایی آنها پیروی می‌کند [۱۵]. ترکیب بیوتیت در سنگ‌های گرانیتی واپسیه به ترکیب ماقمای مادر، گریزندگی اکسیژن دمای مذاب و خاستگاه گرانیت‌های [۱۶، ۱۷]. بیوتیت‌های موجود در توده‌های نفوذی در نمودار $\text{Fe} + \text{Mg} - \text{Al}^{IV}$ و بر

سنگ‌های مورد بررسی از مشخصه‌های گرانیت‌های نوع I است.
[۲]

سرشار از میکا، این از مشخصه‌های گرانیت‌های نوع I است.
همچنین وجود میانبارهای آپاتیت در بیوپتیت‌ها و هورنبلندهای



شکل ۶ الف) نامگذاری بیوپتیت‌های گرانیت توده نفوذی ناری در نمودار $\text{Fe} / \text{Fe} + \text{Mg} - \text{AlIV}$ و بر پایه [۱۸]. ب) نمودار $\text{TiO}_2\text{-MgO-(FeO+MnO)}$ که براساس آن بیوپتیت‌های توده نفوذی ناری از نوع اولیه (A) و مگمایی هستند [۱۹]. (B) بیوپتیت اولیه باز تعادلی، C: بیوپتیت ثانویه.

جدول ۲ نتایج تجزیه الکترون مایکروپرورب بیوپتیت‌های سنگ‌های منطقه مورد بررسی غرب ارومیه، بر اساس [۲۲] اکسیژن.

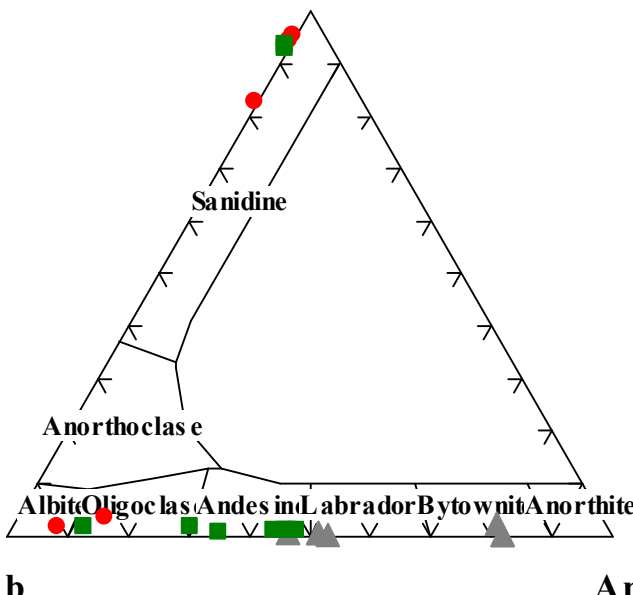
بیوپتیت	Os30-1	Os30-2	Os30-3	Os30-4	Os30-5	Os30-6	Os30-7
Na_2O	۰,۱۴	۰,۱۴	۰,۱۱	۰,۱۶	۰,۰۶	۰,۰۶	۰,۰۴
K_2O	۶,۶۶	۶,۴۴	۶,۴۸	۶,۶۳	۶,۵۴	۶,۶۰	۶,۶۰
FeO	۲۹,۷۹	۳۰,۳۵	۳۰,۵۲	۳۰,۶۷	۳۰,۷۶	۳۰,۶۲	۳۰,۱۸
SiO_2	۳۷,۱۳	۳۷,۳۰	۳۶,۱۴	۳۷,۱۲	۳۶,۲۱	۳۶,۴۳	۳۶,۶۷
MgO	۴,۵۹	۴,۴۰	۴,۲۳	۴,۳۱	۴,۳۰	۴,۱۸	۴,۴۵
CaO	۰,۰۱	۰,۱	۰,۰۰	۰,۰۰	۰,۰۰	۰,۰۱	۰,۰۰
MnO	۰,۵۹	۰,۵۸	۰,۶۵	۰,۵۸	۰,۷۲	۰,۶۴	۰,۶۸
Al_2O_3	۱۳,۲۱	۱۲,۸۷	۱۲,۸۸	۱۲,۴	۱۲,۰۳	۱۳,۱۲	۱۳,۱۶
TiO_2	۴,۰۸	۳,۵۸	۴,۱۲	۳,۷۴	۳,۹۴	۴,۳۴	۴,۰۹
مجموع	۹۶,۲۰	۹۵,۷۶	۹۵,۱۳	۹۶,۵۲	۹۵,۵۶	۹۶	۹۵,۸۷
Si	۵,۸۱۸	۵,۸۸۱	۵,۵۶۷	۵,۸۱۵	۵,۷۵۸	۵,۷۵۶	۵,۷۸۵
Al^{IV}	۲,۱۸۲	۲,۱۱۹	۲,۲۳۳	۲,۱۸۵	۲,۲۴۲	۲,۲۴۴	۲,۲۱۵
Al^{VI}	۰,۲۵۸	۰,۲۷۳	۰,۱۸۹	۰,۲۹۲	۰,۲	۰,۱۹۹	۰,۲۲۲
Ti	۰,۴۸۱	۰,۴۲۵	۰,۴۹۴	۰,۴۴۱	۰,۴۷۱	۰,۵۱۶	۰,۴۸۵
Fe^{2+}	۳,۹۰۴	۴,۰۰۲	۴,۰۷۳	۴,۰۱۸	۴,۰۹۱	۴,۰۴۶	۳,۹۸۲
Mn	۰,۰۷۸	۰,۰۷۷	۰,۰۸۸	۰,۰۷۷	۰,۰۹۷	۰,۰۸۶	۰,۰۹۱
Mg	۱,۰۷۲	۱,۰۳۴	۱,۰۰۶	۱,۰۰۷	۱,۰۱۹	۰,۹۸۴	۱,۰۴۶
Ca	۰,۰۰۲	۰,۰۰۲	۰,۰۰	۰,۰۰	۰,۰۰	۰,۰۰۲	۰,۰۰
Na	۰,۰۴۳	۰,۰۴۳	۰,۰۳۴	۰,۰۱۸	۰,۰۱۸	۰,۰۱۸	۰,۰۱۲
K	۱,۳۳۱	۱,۲۹۵	۱,۳۱۹	۱,۳۲۵	۱,۳۲۶	۱,۳۳۰	۱,۳۲۸
مجموع کاتیون‌ها	۱۵,۱۶۸	۱۵,۱۶۷	۱۵,۲۰۴	۱۵,۱۷۷	۱۵,۲۲۳	۱۵,۱۸۱	۱۵,۱۷۷
مجموع اکسیژن‌ها	۲۲	۲۲	۲۲	۲۲	۲۲	۲۲	۲۲
$\text{Fe}/(\text{Fe}+\text{Mg})$	۰,۷۸۵	۰,۷۹۵	۰,۸۰۲	۰,۸	۰,۸۰۱	۰,۸۰۴	۰,۷۹۲

گرانیت‌وئیدهاست [۲]. ترکیب شیمیایی پلازیوکلازها در سنگ‌های گابرو‌دیوریتی نشانده‌نده بالا بودن مقدار کلسیم در آنهاست. وجود پلازیوکلازهای کلسیمی در نمونه‌های مورد بررسی بیانگر بالا بودن فشار بخار آب است [۱۴]. کانی‌های اکسیدی نیز از نوع مگنتیت هستند (جدول ۳).

شیمی فلدسپارها

ترکیب پلازیوکلازهای سنگ‌های گابرو‌دیوریتی توده نفوذی دوربه آندزین-لایبرادوریت و در برخی بلورها بیتونیت است. فلدسپارها قلیایی در توده‌های مورد بررسی صورتی رنگ، درشت بلور، بیشتر دارای بافت پرتیتی و از نوع ارتوکلاز هستند (شکل ۷). رنگ صورتی ارتوکلاز‌ها نشانگر نوع I بودن این

Or



شکل ۷ ترکیب شیمیایی پلازیوکلاز و فلدسپارهای قلیایی در سنگ‌های مورد بررسی [۱۸].

جدول ۳ نتایج تجزیه نقطه‌ای پلازیوکلاز و فلدسپارهای قلیایی سنگ‌های منطقه مورد بررسی در غرب ارومیه، بر اساس ۸ اکسیژن.

نمونه	Os54-1	Os54-2	Os54-3	Os65-1	Os65-1	Os65-1	Os30-6	Os30-5	Os30-4	Os30-3
SiO ₂	۵۵.۳۸	۵۶.۹۸	۴۸.۲۶	۶۵.۴۷	۵۹.۴۸	۵۷.۱۵	۶۶.۴۷	۶۴.۷۶	۶۶.۵۰	۶۶.۲۰
Na ₂ O	۰.۵۲	۰.۲۲	۱.۹۷	۰.۶۰	۶.۷۷	۵.۸۵	۱۰.۳۱	۹.۱۰	۰.۴۸	۰.۴۹
K ₂ O	۰.۱۱	۰.۰۹	۰.۰۲	۱۱.۱۹	۰.۰۷	۰.۱۱	۰.۲۵	۰.۵۱	۱۱.۶۵	۱۱.۴۱
FeO	۰.۱۸	۰.۱۱	۰.۲۵	۰.۰۴	۰.۱۰	۰.۱۱	۰.۱۴	۰.۱۳	۰.۰۷	۰.۰۹
MgO	۰.۰۱	۰.۰۶	۰.۰۰۸۲۰.۰۱	۰.۰۰	۰.۰۰	۰.۰۰	۰.۰۰	۰.۰۰	۰.۰۳	۰.۰۰
CaO	۱۰.۶۱	۹.۷۰	۱۷.۱۳	۰.۰۰	۶.۷۱	۹.۹۳	۱۶۷	۳.۰۱	۰.۰۳	۰.۰۱
MnO	۰.۰۱	۰.۰۰	۰.۰۳	۰.۰۰	۰.۱	۰.۰۰	۰.۰۰	۰.۰۰	۰.۰۳	۰.۰۰
Al ₂ O ₃	۲۸.۱۵	۲۷.۵۹	۳۳.۸۴	۱۸.۶۹	۲۶.۵۸	۲۸.۱۲	۲۱.۵۰	۲۲.۷۹	۱۸.۴۲	۱۸.۴۲
مجموع	۹۹.۹۸	۱۰۰.۶۹	۱۰۱.۵۱	۹۵.۹۹	۹۹.۸۴	۱۰۱.۲۷	۱۰۰.۳۴	۱۰۰.۳۰	۹۷.۱۹	۹۶.۶۴
Si	۲۴۹۶	۲۵۴۲	۲۱۸۳	۳.۰۵	۲۶۶۴	۲۵۲۳	۲۹۰۵	۲۸۴۲	۳.۰۶۵	۳.۰۶۴
Al	۱.۴۹۴	۱.۴۵۰	۱.۸۰۲	۱.۲۵	۱.۳۹۱	۱.۴۶۸	۱.۱۰۷	۱.۱۷۸	۱.۰۰۰	۱.۰۰۴
Fe ²	۰.۰۰۷	۰.۰۰۴	۰.۰۰۹	۰.۰۰۲	۰.۰۰۴	۰.۰۰۴	۰.۰۰۵	۰.۰۰۵	۰.۰۰۳	۰.۰۰۳
Mn	۰.۰۰۱	۰.۰۰	۰.۰۰۱	۰.۰۰	۰.۰۰۴	۰.۰۰	۰.۰۰	۰.۰۰	۰.۰۰۱	۰.۰۰۱
Mg	۰.۰۰۱	۰.۰۰	۰.۰۰۱	۰.۰۰	۰.۰۰	۰.۰۰	۰.۰۰	۰.۰۰	۰.۰۰	۰.۰۰
Ca	۰.۵۱۲	۰.۴۶۴	۰.۸۳۰	۰.۰۰	۰.۳۲۰	۰.۴۷۲	۰.۰۷۸	۰.۱۴۲	۰.۰۰۱	۰.۰۰
Na	۰.۴۸۲	۰.۵۳۸	۰.۱۷۳	۰.۰۵۴	۰.۵۸۴	۰.۵۰۳	۰.۸۷۴	۰.۷۷۴	۰.۰۴۳	۰.۰۴۴
K	۰.۰۰۶	۰.۰۰۵	۰.۰۰۱	۰.۶۶۵	۰.۰۰۴	۰.۰۰۶	۰.۰۱۴	۰.۰۲۹	۰.۶۸۵	۰.۶۷۴
مجموع	۴.۹۹۹	۵.۰۰۳	۵.۰۰۰	۴.۷۹۶	۴.۹۵۲	۴.۹۸۶	۴.۹۸۳	۴.۹۷۰	۴.۷۹۸	۴.۷۹۰
Ab	۴۸.۲	۵۳.۴	۱۷.۲	۷.۵	۶۴.۳	۵۱.۳	۹۰.۵	۸۱.۹	۵.۹	۶.۱
An	۵۱.۲	۴۶.۱	۸۲.۷	۰.۰	۳۵.۲	۴۸.۱	۸.۱	۱۵.۰	۰.۱	۰.۰
Or	۰.۶	۰.۵	۰.۱	۹۲.۵	۰.۴	۰.۶	۱.۴	۳.۱	۹۴.۰	۹۳.۹

دارکن^۲ (DQF) است. مقدار Y برای $X_{ab} > 0.5$ صفر است و برای $0.5 < X_{ab} < 2.55(1-X_{ab})^2$ به دست می-آید. این دماستج برای دماهای بین ۵۰۰ تا ۱۱۰۰ درجه سانتی گراد، آنورتیت پلازیوکلاز کمتر از ۹۲ درصد و آمفیبول با مقدار سیلیس کمتر از ۷/۸ pfu است (برگرفته از مراجع [۲۴، ۲۵]). همچنین می‌توان این دماستج را برای سنگ‌های آتشفسانی و نفوذی مافیک تا اسیدی بکار برد. دمای تعادل هورنبلندهای همزیست با پلازیوکلاز در توده نفوذی دوربیه ۷۵۰ تا ۸۶۰ درجه سانتی گراد به دست می‌آید. بر اساس رابطه ویهنا و همکاران [۲۶]، یعنی $T = 25/3 P + 654.9$ ، نیز دما برای دیوریت دوربیه بر اساس فشار محاسبه شده اشمتیت، حدود ۷۱۰ تا ۸۳۰ درجه سانتی گراد بدست آمد.

مقدار Ti، کلسیم آمفیبول‌ها با افزایش دما انطباق مثبتی دارد و افزایش می‌یابد، اما تقریباً مستقل از فشار است [۲۷] و بر اساس کارهای تجربی ارنست و لیو [۲۷]، مقدار Ti در دماهای بالای ۵۰۰ درجه سانتی گراد یک دماستج نیمه کمی است. در زمین دماشمارستج نیمه کمی ارنست و لیو [۲۷] که بر اساس ترکیب تغییرات مقدار اکسیدهای Al_2O_3 و TiO_2 در کلسیم آمفیبول‌ها ارائه شده است، نمونه‌های مورد بررسی دمای حدود ۷۰۰ تا ۸۵۰ درجه سانتی گراد و فشار ۲ تا ۴/۵ کیلوبار را برای سنگ‌های دیوریتی و دمای ۷۵۰ تا ۸۶۰ درجه سانتی گراد و فشار ۵ تا ۸ کیلوبار را برای سنگ‌های گابرو‌دیوریتی نشان می‌دهند (شکل ۸ و جدول ۱). دماهای بالای ۹۰۰ درجه سانتی گراد به احتمال بسیار برای تشکیل و دماهای پایین برای جایگیری این سنگ‌ها در نظر گرفته می‌شود.

دماستجی بر اساس مقدار Ti بیوتیت

بیوتیت از میزبان‌های مهم Ti محسوب می‌شود و مقدار آن وابسته به دما، فشار و ترکیب شیمیایی بیوتیت است و بر این اساس می‌توان برای تعیین دمای تشکیل بیوتیتها از آن استفاده کرد [۲۸]. رابطه زیر برای دماستجی ارائه شده است:

$$T = \{[\ln(\text{Ti}) - a - c(X_{\text{Mg}})^3]/b\}^{0.333} \quad (3)$$

که در آن، Ti تعداد اتم‌های Ti در واحد فرمولی (apfu) بهنجار شده براساس ۲۲ اکسیژن، $X_{\text{Mg}} = \text{Mg}/(\text{Mg} + \text{Fe})$ ، $a = -2.3594 \times 10^{-9}$ و $b = 4.6482$ است. c = -1.7283 مقدار دما بر اساس این رابطه برای سنگ‌های گرانیتی ناری بین ۷۴۱ تا ۷۶۰ درجه سانتی گراد بدست آمد (جدول ۴).

دما-فشارسنجی

فشارسنجی با استفاده از آلومینیوم هورنبلنده

بر پایه پژوهش‌های بسیاری در دو دهه گذشته، مقدار آلومینیم کل هورنبلنده رابطه مستقیمی با عمق تبلور آن دارد و می‌توان از آن برای زمین دما فشارسنجی استفاده نمود. آمفیبول‌ها قابل استفاده‌ترین کانی‌ها برای دما-فشارسنجی در سنگ‌های آذرین آهکی قلیایی هستند، زیرا آنها تقریباً در همه توده‌های نفوذی آهکی قلیایی چه بازی و چه حد واسطه یا اسیدی وجود دارند و در گستره وسیعی از $P-T$ از ۱-۲۳ kbar و در دماهای ۱۱۵۰-۱۴۰۰ درجه سانتی گراد پایدار هستند [۲۱]. اساس بسیاری از دما-فشارسنج‌ها مقدار آلومینیوم هورنبلنده است، زیرا مقدار آلومینیم هورنبلنده با عمق جایگزینی توده‌های نفوذی دارای ارتباط مستقیم است [۲۰]. از این‌رو، مقدار آلومینیوم ابزاری برای تعیین عمق جایگزینی توده‌های نفوذی است و رابطه‌های بسیاری بر این اساس ارائه شده است [۲۰-۲۲، ۲۶]. شرایط جایگیری گابرو‌دیوریت‌ها و دیوریت‌های توده نفوذی دوربه محاسبه شده و فشار آن بر اساس رابطه جانسون و راترفورد [۲۲] و اشمتیت [۲۲] به ترتیب بین ۱/۱۸ و ۸/۳۴ تا ۲/۱۰ کیلو بار (به ترتیب معادل عمق ۴/۳ تا ۳۰/۳ و ۸/۲۱ تا ۲۵/۸ کیلومتر) به دست آمده که دماهای پایین بیانگر شرایط نهایی جایگیری این توده‌هاست. از انجاکه آمفیبول‌های توده ناری از نوع اکتینولیت هستند، فشار و دمای آنها محاسبه نشد.

دماستجی آمفیبول - پلازیوکلاز

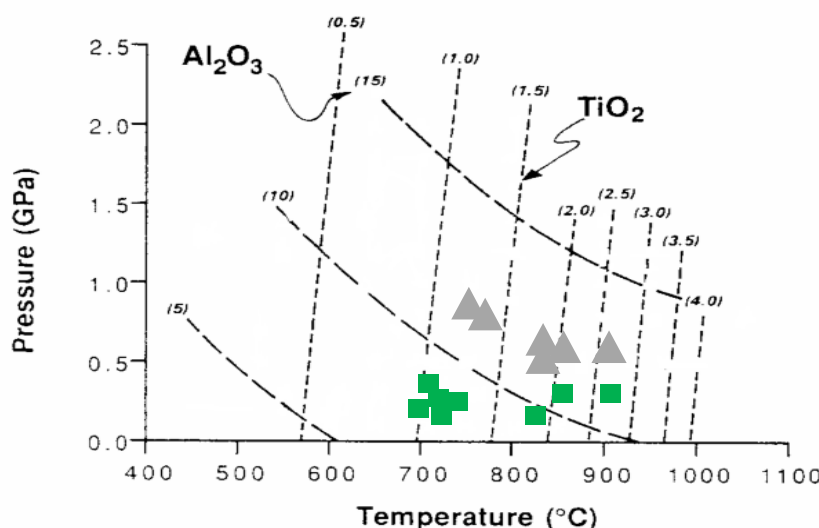
افزون بر فشار، دما گریزندگی اکسیژن، ترکیب سنگ کل و فازهای همزیست بر مقدار Al هورنبلنده اثر دارند و مقدار آن را تعیین می‌کنند [۲]. بلوندی و هلند [۲۳] با مروری بر داده‌های ترکیب هورنبلنده، نتیجه گرفتند که مقدار Al هورنبلنده در زیرمجموعه‌های کانی‌شناسی ویژه نخست وابسته به دماس و آنها دماستجی را بر اساس تبدال $\text{Al}^{[4]} \text{Si}^{[A]} \text{Na}^{[4]}$ برای هورنبلندهای همزیست با پلازیوکلاز در سنگ‌های اشباع از سیلیس را پیشنهاد دادند:

$$T(\pm 311K) = 0.677 - 48.98 + Y/- 0.0429 - 0.8314 \ln K \quad (1)$$

که

$$K = (\text{Si} - 4/\text{Al}-\text{Si}) X_{Ab}^{Plag} \quad (2)$$

در این جا، Si تعداد اتم‌های Si در واحد فرمولی آمفیبول، P فشار بر حسب کیلوبار و T دما بر حسب کلوین است. Y نشاندهنده ناهمگنی^۱ پلازیوکلاز، بر اساس معادله درجه دوم



شکل ۸ همنماهای Al_2O_3 و TiO_2 آمفیبول‌های کلسیمی براساس درصد وزنی به عنوان تابعی برای تعیین فشار و دما [۲۷] و موقعیت نمونه‌های مورد بررسی بر آن.

جدول ۴ نتایج دماسنجی بیوتیت.

a	b	c	Ti	X_{Mg}	$T^{\circ}\text{C}$
-۲,۳۵۹۴	۴,۶۴۸۲ E-۹	-۱,۷۲۸۳	۰,۴۲۵	۰,۲۱	۷۴۱
-۲,۳۵۹۴	۴,۶۴۸۲ E-۹	-۱,۷۲۸۳	۰,۵۱۶	۰,۲	۷۶۰

association", American Mineralogist 83 (1997) 1019-1037.

[2] Stein E., Dietl C., "Hornblende thermobarometry of granitoids from the Central Odenwald (Germany) and their implications for the geotectonic development of Odenwald", Mineralogy and Petrology, 72, 1-3, (2001) pp 185-207.

[3] Ghalamghash J., Nedelec A., Bellon H., Abedini M.V., Bouchez J.L., "The Urumieh plutonic complex (NW Iran): A record of the geodynamic evolution of the Sanandaj-Sirjan zone during Cretaceous times - Part I: Petrogenesis and K-Ar dating", Journal of Asian Earth Sciences 35, (2009) 401-415.

[4] Ghalamghash J., Bouchez J.L., Vosoughi Abedini M., Nedelec A., "The Urumieh plutonic complex (NW Iran): Record of the geodynamic evolution of the Sanandaj-Sirjan zone during Cretaceous times - Part II: Magnetic fabrics and plate tectonic reconstruction", Journal of Asian Earth Sciences 36 (2009) 303-317.

[5] Ghalamghash J., "Petrology of Urumieh plutonic rocks and their emplacement mechanism. Ph.D. thesis", Shahid Beheshti University, Earth Science Faculty (2002).

برداشت

سنگ‌های مورد بررسی در گستره متالومین، دارای ماهیت آهکی قلیایی و از گرانیتوئیدهای نوع I هستند. براساس تجزیه-riзíپردازشی کانی‌های تشکیل دهنده سنگ‌های مورد بررسی، کانی‌های آمفیبول موجود در توده دوربه از نوع منیزیوهرنبلن-چرمکیت-هورنبلن و در توده نفوذی ناری از نوع اکتینولیت-هورنبلن تعیین شدند. آمفیبول‌ها از نوع ماگمایی و دما-بالا هستند و حضور آمفیبول ماگمایی نشان دهنده آب بسیار در ماگمات است. شرایط جایگیری سنگ‌های مورد بررسی محاسبه شد و دمای تعادل هورنبلندهای همزیست با پلازیوکلаз در توده نفوذی دوربه ۷۵۰ تا ۸۶۰ درجه سانتی-گراد به دست آمد. فشار جایگیری توده‌های مورد بررسی ۲ تا ۷ کیلوبار بوده که بیانگر شرایط نهایی جایگیری این توده است. دماسنجی توده نفوذی ناری بر اساس مقدار تیتانیم موجود در بیوتیت نشان‌دهنده دمای تعادل نهایی ۷۴۰ تا ۷۶۰ درجه سانتی-گراد است.

مراجع

- [1] Leake B.E., et al., "Nomenclature of amphiboles: report of the subcommittee on amphiboles of the international mineralogical

- and plagioclase for a ($H_2O < or = 1$)". The Canadian mineralogist, 17(3), (1979) pp549-560.*
- [18] Deer W.A., Howie R.A., Zussman J., "An Introduction to the Rock-Forming Minerals". Pearson; 2 edition (1996).
- [19] Nachit H., Ibhi A., Abia E.H., Ohoud M.B., "Discrimination between primary magmatic biotites, reequilibrated biotites and neofomed biotites", Comptes rendus Geoscience, v. 337, (2005) pp1415-1420.
- [20] Hammarstrom J.M., Zen E-An., "Aluminum in hornblende: An empirical igneous geobarometer", American Mineralogist, 71 (1989) 1297-1313.
- [21] Johnson M.C., Rutherford M.J., "Experimental calibration of the aluminum-in hornblende geobarometer with application to Long Valley (California) volcanic rocks", Geology, 17 (1989) 837-841.
- [22] Schmidt M. W., "Amphibole composition in tonalite as a function of pressure: an experimental calibration of the Al – in hornblende barometer", Contribution to Mineralogy and Petrology, 110 (1992) 304 – 310.
- [23] Blundy J.D., Holland T.J.B., "Calcic amphibole equilibria and a new amphibole-plagioclase geothermometer", Contribution to Mineralogy and Petrology, 104 (1990) 208-224.
- [24] Ghorbani Gh., "Geothermobarometry and mineral chemistry of ferroanpargasite gabbroic cumulates in volcanic rocks from South of Shahrood", Iranian Society of Crystallography and Mineralogy, V. 16, No. 2, (2008) pp265-278.
- [25] Ghorbani Gh., "Geothermobarometry of granitoids from Torud-Chah Shirin area (South Damghan)", Iranian Society of Crystallography and Mineralogy, V. 13, No. 1, (2005) pp95-106.
- [26] Vyhnař C.R., MC Sween H.Y., Jr., "Hornblende chemistry in southern Appalachian granitoids Implications for aluminum hornblende thermobarometry and magmatic epidote stability". American Mineralogist, 76 (1991) 176-188.
- [27] Ernst W. G., Liu J., "Experimental phase-equilibrium study of Al- and Ti-contents of calcic amphibole in MORB- A semiquantitative thermobarometer", American Mineralogist. 83 (1998) 952-969.
- [28] Henry D.J., Guidotti C.V., Thomson J.A., "The Ti-saturation surface for low-to-medium pressure metapelitic: Implications for geothermometry and Ti-substitution mechanisms", American Mineralogist, V. 90 (2005) 316-328.
- [6] Stocklin J., "Structural history and tectonics of Iran: A review", AAPG Bulletin, 52(7) (1968) 1229-1258.
- [7] Khatibi J., "Geochemistry and geochronology of the Oshnavieh granitoids, NW Iran. M.Sc. thesis, School of Earth Sciences, Damghan University, Damghan, Iran (2016).
- [8] Armoun S., "Petrology and geochronology of the Bardkish and Balestan granitoids, west of Urumiyeh Lake (Iran)", M.Sc. thesis, School of Earth Sciences, Damghan University, Damghan, Iran (2017).
- [9] Leake B., et al., "Nomenclature of amphiboles: Additions and revisions to the International Mineralogical Association's amphibole nomenclature", American Mineralogist v.89 (2004) 883-887.
- [10] Hawthorne F.C., Oberti R., Harlow G., Maresch W.V., Martin R.F., Schumacher J.C., Welch M.D., "Nomenclature of amphibole supergroup", American Mineralogist v.97 (2012) 2031-2048.
- [11] Coltori M., Bonadiman C., Faccini B., Gregoire M., O'Reilly S.Y., Powell W., "Amphiboles from suprasubduction and intraplate lithospheric mantle", Lithos, 99 (2007) 68-84.
- [12] Ernst W. G., "Paragenesis and thermobarometry of Ca-amphiboles in the Barcroft granodioritic pluton, central White Mountains, eastern California", American Mineralogist. 87, (2002) 478-490.
- [13] Sial A.N., Ferreira V.P., Fallac A.E., Jerônimo M., Cruzc M., "Amphibole-rich clots in calc-alkalic granitoids in the Borborema province, northeastern Brazil", Journal of South American Earth Sciences, V. 11, Issue 5, (1998) pp 457-471.
- [14] Otten M. T., "The origin of brown hornblende in the Artfjallet gabbro and dolerites". Contribution to Mineralogy and Petrology, 86 (1984) 189-199.
- [15] Lalonde A.E., Bernard P., "Composition and color of biotite from granites: two useful properties in characterization of plutonic suites from the Hepburn internal zone of Wopmay orogen, Northwest Territories", The Canadian mineralogist, 31(1), (1993) pp203-217.
- [16] Wones D. R., Eugster H. P., "Stability of biotite: experiment, theory and application", American Mineralogist, 50 (1965) 1228-1272.
- [17] Abbott R.N., Clarke D.B., "Hypothetical liquidus relationships in the subsystem Al_2O_3 - FeO - MgO projected from quartz, alkali feldspar